

## ЦИТИРОВАННАЯ ЛИТЕРАТУРА

1. Koch R. H., Sobieski S., Wood F. B. A finding list for observers of eclipsing variables. Publ. Univ. Pennsylv. 1963, IX.
2. Gaposhkin S. A new bright eclipsing variable with small range. Bull. Harvard obs. 1943, N. 917, 5—7.
3. Gaposhkin S. The eclipsing variables. Harv. Ann. 1953, 113, 2, 69—149.
4. Plaut L. The elements of the eclipsing binaries brighter than photographic magnitude 8.50 at maximum. Groningen Publ. 1950, 54.
5. Гапошкін С. І. Спектрально-двойная звезда BD+40°4115—затменная переменная V470 Cygni. Перем. зв. 1948, 7, 1, 38—40.
6. Gaposhkin S. New eclipsing variables with small ranges. A. J. 1948, 53, 112.

## ВОПРОСЫ КЛАССИФИКАЦИИ С—ЗВЕЗД ПО НИЗКОДИСПЕРСНЫМ СПЕКТРАМ

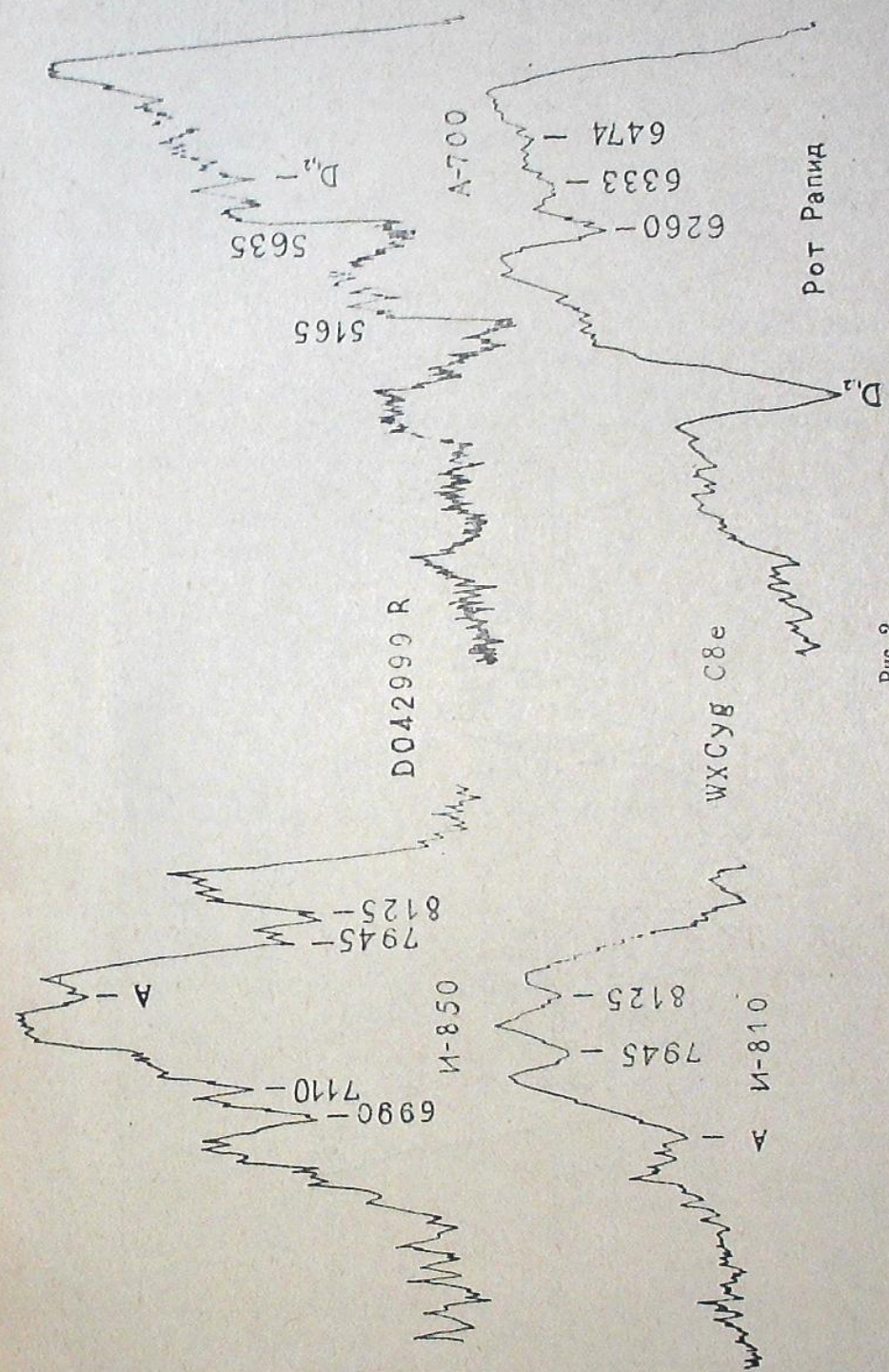
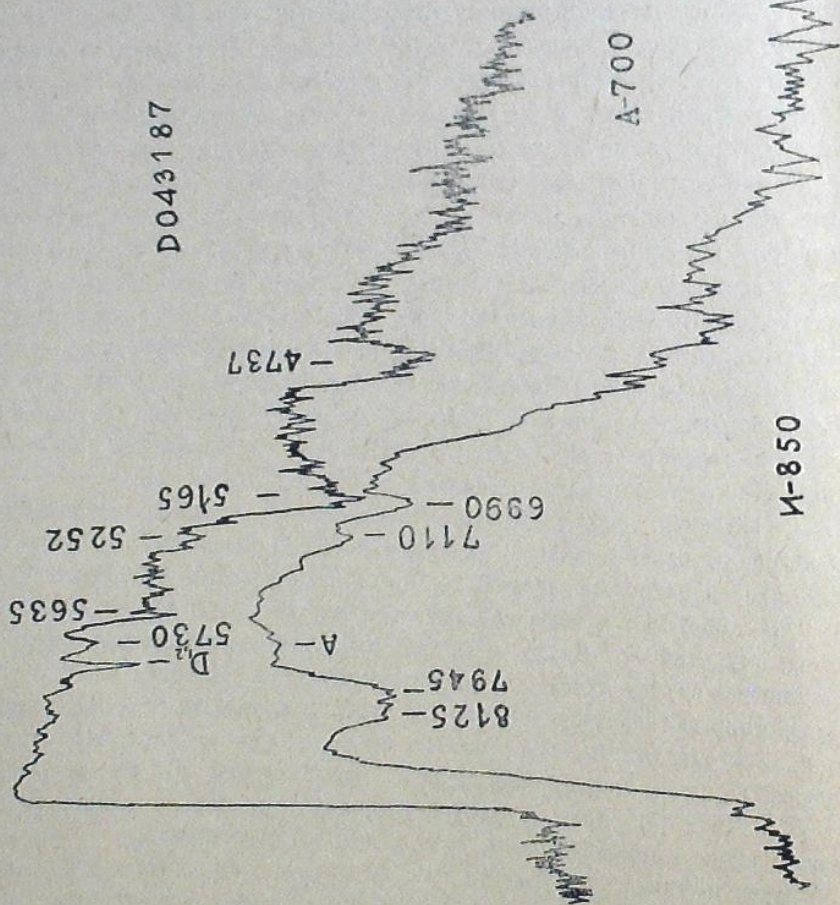
М. В. ДОЛИДЗЕ, З. АЛКСНЕ И Г. Н. ДЖИМШЕЛЕЙШВИЛИ

За последнее время в близких инфракрасных лучах различными авторами было выявлено большое количество С—звезд. Подробная классификация этих звезд не была проведена. Трудности классификации С—звезд в близких инфракрасных и визуальных лучах хорошо известны. В лучшем случае в инфракрасных лучах С—звезды удается разделить на 3—4 подкласса. Кроме того, возникают трудности при разделении звезд на R и N. Так как на большой призменной камере Абастуманской астрофизической обсерватории (70 см менисковый телескоп с 8—и 4—градусными призмами) мы имеем возможность выявлять слабые С—звезды, то перед нами возникла необходимость классификации вновь выявленных и реклассификации в С—системе слабых С—звезд. При этом нашей задачей не являлась количественная спектральная классификация. Предварительная работа имела целью выработать качественную классификацию для спектров, получаемых на нашей аппаратуре в С—системе, основываясь на глазомерных оценках относительной интенсивности отдельных линий и полос в спектре.

Как известно, для уверененной классификации С—звезд необходимо иметь широкие участки спектра, например, 6700—5000 или 8300—6500 ангстрем. Получать подобные спектры мы могли на эмульсиях А—700 или Рот Рапид и И—850. Но, к сожалению, в этом случае, из-за малой чувствительности эмульсий Рот Рапид и И—850 наблюдения ограничены яркими, в большинстве случаев хорошо изученными звездами. На рис. 1,2 и 3 мы приводим микрофотограммы четырех С—звезд, полученных с 8—градусной призмой на эмульсиях И—850, А—700 и Рот Рапид. Дисперсия около А—полосы  $O_2$  равняется приблизительно 760 ангстрем на мм, а около линии  $D_{1,2}$  NaI—450. Для 4—градусной призмы дисперсия примерно в два раза меньше—приблизительно 1500 и 900, соответственно.

Следует помнить также о том, что не на всех эмульсиях возможно получать нормально экспонированные спектры С—звезд одновременно во всем участке спектра. Поэтому в последнее время для получения и изучения всего участка спектра на одной эмульсии берут различные выдержки. Особенно необходимо получать последовательность спектров с различными выдержками в случае работы на эмульсиях с узкой полосой максимальной спектральной чувствительности (например, на эмульсии И—810).

Обычно же, если не вести специальных работ для классификации, спектральные снимки получают в узких участках спектра: 8300—7500,



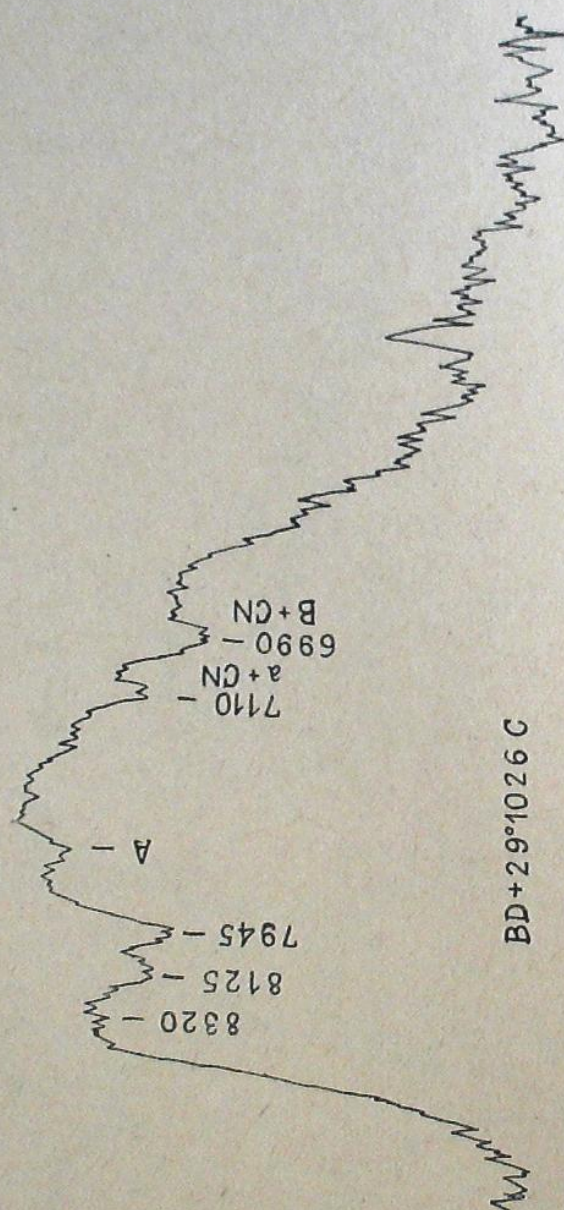


Рис. 3.

BD+29°1026 C  
N-850

6600—6000, 6500—5500 и реже 5700—5000 ангстрем. Поэтому мы решили проанализировать спектры С-звезд различных подклассов, полученных нами в этих участках спектра. Хотя у нас имеется большое количество спектральных снимков, полученных в участке спектра 6600—6000, к сожалению, это наименее удобный для исследования С-звезд участок, в котором расположены лишь слабые полосы поглощения, невыгодные для спектральной классификации. В связи с этим мы выбрали дополнительно участок спектра в желтых лучах 5700—5000, в котором расположены наиболее сильные в С-звездах полосы поглощения  $C_2$ , а также атомные линии поглощения и полоса  $CN$ .

Для выявления возможности деления С-звезд на подклассы по нашим спектральным снимкам, нами получена серия спектральных снимков с 8-градусной призмой в близких инфракрасных и желтых лучах восьми хорошо изученных С-звезд из списка Кинана и Моргана [1] и двух ярких С-звезд из списка Е. Перро [2]. Список звезд приводится в таблице 1. Данные наблюдений приведены в таблице 2.

Таблица 1

№ п/п	Звезда	HD	$\alpha_{1900}$	$\delta_{1900}$	$M_r$	$C_{Type}$	$R, N_{Type}$
1		156074	17 <sup>h</sup> 10 <sup>m</sup>	+42°15'	7.7—	C1 <sub>3</sub>	R1
2		225392	23 44	05 50	8.8—	C <sub>2</sub> <sub>2</sub>	R3
3	RU Cyg	191783	20 07	35 39	8.5—10	C <sub>9</sub> <sub>8</sub>	N
4	DS Peg	206570	21 38	35 03	6.0—7.0	C <sub>6</sub> <sub>1</sub>	N1
5	TX Psc	223075	23 41	02 56	5.3—	C <sub>6</sub> <sub>2</sub>	N0
6	RV Cyg	216750	21 39	37 34	7.1—9.3	C <sub>6</sub> <sub>4</sub>	N5
7	UX Dra	183556	19 25	76 23	6.1—7.1	C <sub>7</sub> <sub>3</sub>	N0
8	RS Cyg	19443	20 10	38 26	7.5—8.7	C <sub>8</sub> <sub>2</sub>	NOpe
9	WX Cyg	193363	20 15	37 08	8.8—13.2	C <sub>8</sub> e	N3e
10	WZ Cas	224855	23 56	59 48	6.9—8.5	C <sub>9</sub> <sub>1</sub>	N1p

Таблица 2

Звезда	Номер пластиинки	Дата	Эмульсия и фильтр	Время выдержки в минутах	Наблюда-тель
1	4166	23.VII.1964	2	15	Д, А
1	4172a	23.VII. "	1	10	Д, А
1	4382	21. X. "	1	20	Д
2,5	4169	24.VII. "	2	30	Д, А
2,5	4179a	24.VII. "	1	30	Д, А
5	4377b	17.X. "	1	5	Д
5	4378	20.X. "	2	15	Д
5	4379	20.X. "	1	20	Д
5	4384	21.X. "	1	3	Д, ДЖ
5	4385	21.X. "	2	5	Д, ДЖ
5	4397	23.X. "	2	40	Д, ДЖ
4,6	4167	24.VII. "	2	14	Д, А
4,6	4168a	23.VII. "	3	40	Д, А
4,6	4169a	23.VII. "	1	35	Д, А
4,6	4175a	24.VII. "	1	14	Д, А
4,6	477	17.X. "	1	30	Д
4,6	4377a	17.X. "	1	8	Д
4,6	4530	4.I.1965	1	5	Д
4,6	4531	4.I.1965	2	14	Д

Продолжение табл. 2

Звезда	Номер пластиинки	Дата	Эмульсия и фильтр	Время выдержки в минутах	Наблюдатель
7	4168	24.VII. 1964	2	15	Д.А
7	4177a	24.VII. 1964	1	15	Д.А
7	4390	22.X. 1964	2	9	Д.ДЖ
7	4391	22.X. 1964	1	7	Д.ДЖ
38,9	8216	28.XI. 1962	1	60	Д
38,9	4174a	24.VII. 1964	1	20	Д.А
38,9	4394	22.X. 1964	2	15	Д.ДЖ
38,9	4395	22.X. 1964	1	8	Д.ДЖ
10	4380	21.X. 1964	2	15	Д
10	4381	21.X. 1964	1	15	Д
10	4426	31.X. 1964	1	9	Д.ДЖ
10	4552	4.I. 1965	1	5	Д
10	4533	4.I. 1965	2	10	Д

## Примечания к табл. 2

1. И—810+КС—10

2. Гельб рапид + ЖС—18

3. Ultra ortho + ЖС—18

Д—Долидзе, А—Алксне, Дж.—Джимшелайшили.

На рис. 4 приводятся микрофотограммы С—звезд различных подклассов, полученных с 8-градусной призмой в близких инфракрасных и желтых лучах. Рассмотрение микрофотограмм показывает, что по нашим спектрам С—звезды могут быть разделены на 2–3 подкласса. Приведем отдельно для этих участков спектра характерные для них признаки, которые могут быть приняты во внимание при классификации С—звезд. Здесь же приводятся описания соседних спектральных участков, длины волн и значения колебательных переходов для линий и полос.

Участок 5700–5000 астроном. единиц. Линии и полосы приведены в таблице 3.

Таблица 3

Атомные линии	C <sub>2</sub> (V', V'')	C N	Бленды линий и полос
MgI	5175	5070 (3,3)	
Cr—TiI	5209	5097 (2,2)	
TiI—FeI	5252	5129 (1,1)	
	5.65	(0,0)	5250
	5.01	(3,4)	5270
	55.0	(2,3)	
	55.5	(1,2)	
	56.5	(0,1)	

По ним С—звезды можно разделить грубо на 3 подкласса. C<sub>1</sub>—C<sub>4</sub>—полосы Свана C<sub>2</sub> слабы. В группе 5165 и 56.5 выделяются только первые полосы 5165 и 56.5. Остальные очень слабы. Т. е. 5165 сильнее 5129 и 56.5 сильнее 55.5. C<sub>5</sub>—C<sub>6</sub>—C<sub>2</sub>—наибольшей интенсивности. В группе полос 5165, 56.5 хорошо выделяются все полосы. Спектр имеет

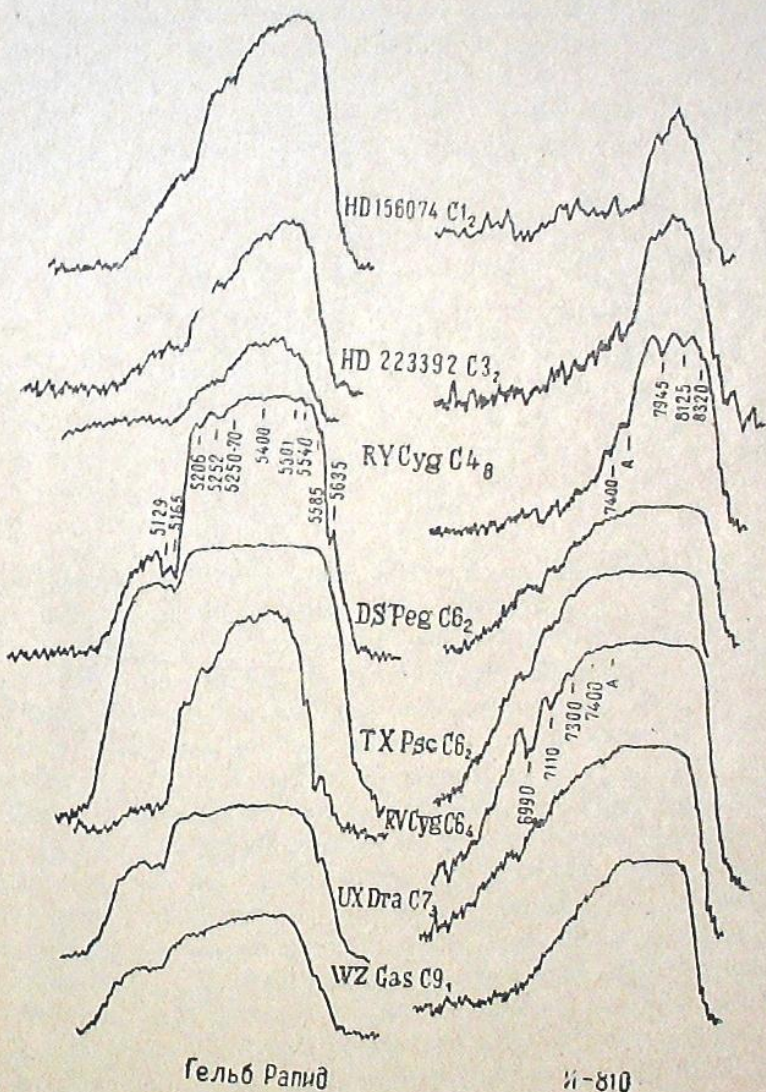


Рис. 4.

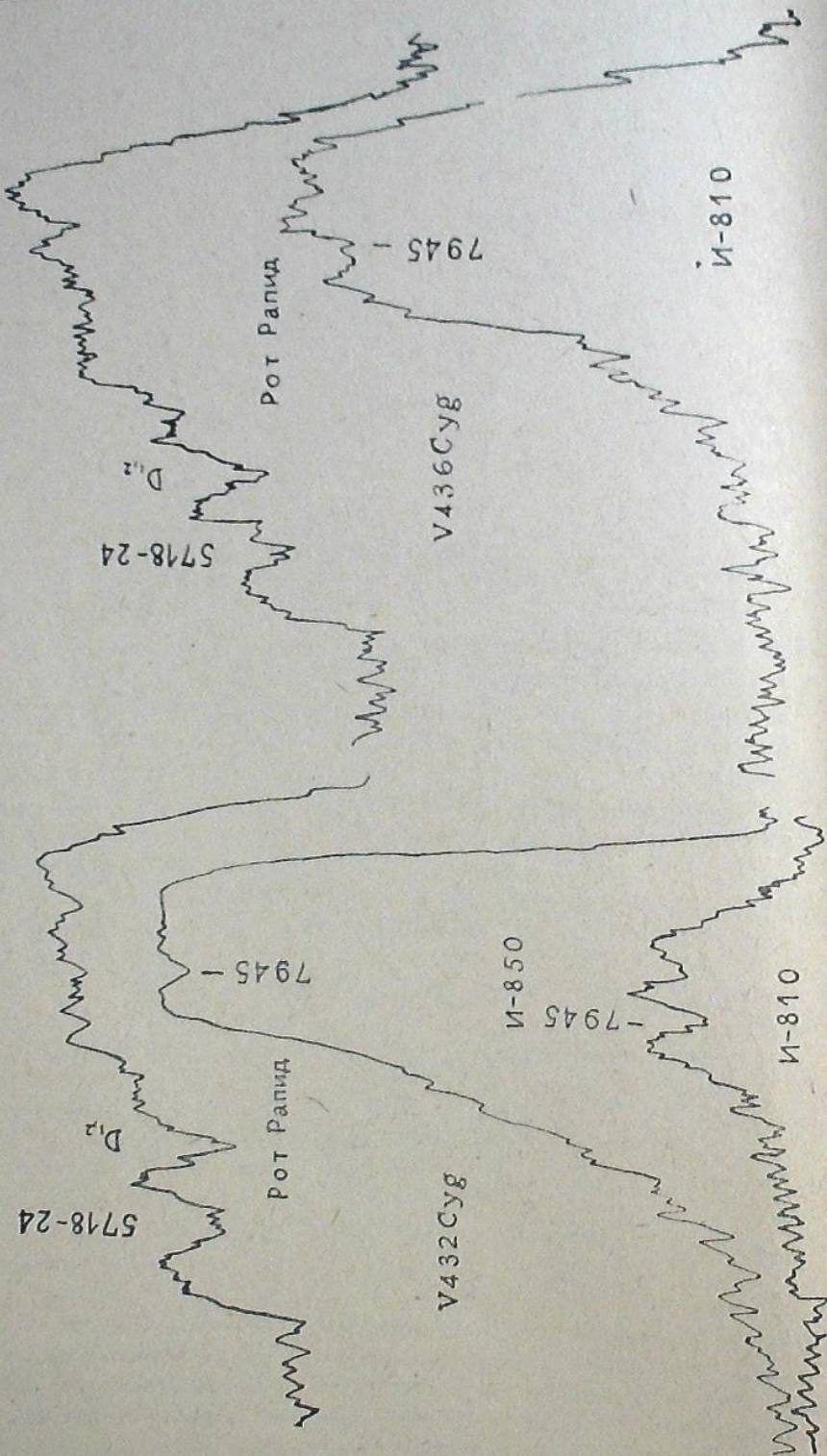


Рис. 6.

характерный вид темного четырехугольника с резко отделенными светлыми краями с обеих сторон.  $C_8-C_9$ —полосы  $C_2$ , слабы. В группах полос хорошо выделяются первые и вторые, почти одинаковой интенсивности полосы: 5165, 5129 и 5635, 5585.

При сравнении полос в группах  $C_2$  некоторое искажение могут внести полосы изотопов  $C^{12}$   $C^{13}$  и  $C^{12}$   $C^{13}$ . При нашей дисперсии это влияние учесть невозможно. Эквивалентные спектральные классы можно определять по бледам атомных линий, общим со спектрами звезд  $G$ ,  $K$ ,  $M$  (5175, 5209, 5250—70, 3410).

Участок 6700—5000 ангстрем. К описанному выше участку здесь добавляются полосы и линии, приведенные в таблице 4.

Таблица 4

Атомные линии	$C_2$ ( $V'$ , $V''$ )	СН	Бледы линий и полос
NaI 5890—96	6059 (2,4)	5730	5718—24
H $\alpha$ 6563	6122 (1,3)	5860	6020
ZiI 6707	6191 (0,2)	6012 6196 6333 6481 6206	6260

Деление на подклассы можно вести, кроме описанных выше, по следующим хорошо известным признакам [1,3].

1. По относительной интенсивности NaI 5890—96 C-звезды можно делить на  $C_0-C_2$ ,  $C_3-C_4$ ,  $C_5-C_7$ ,  $C_8-C_9$ . Наличие и интенсивность полосы 5635 уточняет это деление, особенно для подклассов  $C_3-C_4$ , где линия 5890—96 замыкается поглощением в участке 5750—6050 [1].

2. По оценке цвета звезды соответственно интенсивности непрерывного спектра в трех точках (или узких спектральных участках): 5190, 5670 и 6150 [1]. Как нам представляется сейчас, лучше сместить третью точку в сторону коротких волн и брать вместо 6150—5800, т. е. точку между полосами  $D_{1,2}$  и 5730, так как уровень непрерывного спектра в точке 6150 все же понижается под влиянием соседних перекрывающихся между собой полос поглощения. Для увеличения базиса можно на эмульсиях Kodak OaF и A—700 брать еще одну точку 6700. Наличие в некоторых звездах узкой линии LiI 6707 не затрудняет проведения уровня непрерывного спектра.

3. Сравнением между собой интенсивности полос поглощения 5730, 6020, 6260 и линии  $D_{1,2}$  Na I. Это дает возможность уточнить спектральный подкласс звезды. Подбор точек для определения цвета звезд нас интересовал в первую очередь в связи с вопросами спектрофотометрии непрерывного спектра. Для деления C-звезд на подклассы мы использовали признаки 1,3 и оценку градиента интенсивности полос поглощения  $C_2$ . Для определения эквивалентного спектрального класса можно использовать оценку относительной интенсивности блед атомных линий.

Если красный конец спектра нормально экспонирован, то полосы  $CN$  6481, 6333, 6210 и  $C_1$ , 6191, также как наличие в оранжевых лучах полосы поглощения  $C_2$  5635, удобны для выделения  $C$ -звезд, а вышеупомянутые признаки помогают уточнить подкласс звезды.

Таблица 5

$CN$	Атмосферные полосы
6990 (3,2)	6870 $O_2$ —B
7110 (4,1)	7240 $H_2O$ —a
7300 (5,2)	7615 $O_2$ —A
7460 (6,3)	8220 $H_2O$
7945 (2,0)	
8125 (3,1)	
8320 (4,2)	

Участок спектра 8320—6800 ангстрем. Список полос поглощения приводится в таблице 5.

Спектры по нашим данным и согласно работам [4,5] можно разделить на 3—4 подкласса.  $C1—C2$ :—с красной стороны от атмосферной полосы поглощения  $O_2$ —A хорошо выделяется только полоса  $CN$  7945. Полосы  $CN$  8125 и 8320 очень слабы. Интенсивность красного конца спектра начинает спадать около 8100. Полосы поглощения  $CN$  6990, 7110 и 7300 начинают выделяться.  $C3—C4$ :—все полосы  $CN$  усилились. Спектр с красной стороны обрывается около  $CN$  8320. Из красных полос  $CN$  более интенсивная полоса—7945. Между полосами поглощения появляются уплотнения, подобные эмиссии 8220, 8010, 7770 (особенно сильное) 7540, 7390 и 7070.  $C5—C6$ :—полосы  $CN$  с красной стороны от полосы A начинают ослабевать. Участки, подобные эмиссии, хорошо видны. С синей части от полосы A более заметная полоса  $CN$  6990.  $C7—C9$ :—полосы поглощения  $CN$  с красной стороны A—полосы поглощения: 7945, 8125, 8320 слабы. В отличие от ранних подклассов спектр тянется дальше в красную сторону. Спектр ослабевает за 8320. Полосы  $CN$  с коротковолновой стороны A—полосы тоже ослабели. Хорошо выделяется  $CN$  6990. Здесь мы должны отметить, что по некоторым источникам [5,6] в спектрах  $C7—C9$  полосы  $CN$  7945, 8125, 8320 продолжают усиливаться. Противоречие мы встречаем в случае звезды  $WX Cyg$ . Это—звезда N3 по фотографическому и визуальному участкам и R по инфракрасному концу, как по нашим данным, так и по [6] (рис. 2). В работе [6] указано еще на 5 случаев, когда имеются расхождения результатов классификации, проведенных в различных участках спектра. Во всех пяти случаях N—звезды в инфракрасных лучах оказываются типа R. Возможно, что это частично вызвано эффектом бледы [7, стр. 18], т. е. наложением сильной полосы  $CN$  (7, 2), расположенной на участке 5882—5902, на натриевый дублет в спектральном интервале  $C5—C9$ . Контролем могли бы служить ультрафиолетовые снимки, так как в этих лучах звезды R и N выглядят различно.

Участок спектра 8320—6563 ангстрем. К вышеописанному участку добавляется участок с двумя еще полосами поглощения  $CN$  6670 и 6560.

Желательно было бы одновременно оценивать цвет звезд на основе укорочения и сужения коротковолнового конца спектра [6], но, к сожалению, в этом случае эмульсия  $I—810$ , более высокой чувствительности, чем  $I—850$ , менее пригодна. Работа усложняется из-за необходимости получения спектров с различными выдержками.

Таким образом, для проведения классификационной работы, т. е. деления C—звезд на 4 подкласса, в нашем случае пригодны спектры, полученные в двух широких участках 8320—6563 ( $I—850$ ) и 6700—5000 ( $A—700$  или Рот Рапид). Для более грубой классификации, т. е. деления звезд на 3 подкласса и для деления звезд на R и N вполне пригодны спектры, полученные в узких участках: 8320—6800 ( $I—810$ ) и 5700—5000 (Гельб Рапид).

Очевидно, что для более детальной классификации в дальнейшем должны приниматься во внимание все особенности C—системы, и, кроме того, изучаться изменения спектра звезд в зависимости от изменения их блеска.

Что касается спектров, получаемых с 4-градусной призмой, то несмотря на большую разницу в дисперсиях, спектры, полученные в выбранных участках, дают почти одинаковую информацию и их можно делить на одинаковые подклассы.

Для нескольких C—звезд по пластинкам, полученным ранее для других целей, нами была проведена предварительная классификация. В таблице 6 приводим данные для этих звезд. Соответственно, наблюдательные данные приведены в таблице 7. Микрофотограммы двух звезд приведены на рис. 5.

Таблица 6

№ п/п	Звезда	$\alpha$ 1900	$\delta$ 1900	$m_i$ ( $m_e$ )	Sp	Спектр Абастумани	
						Vis	JR
1		01 <sup>h</sup> 23 <sup>m</sup> .1	+58°23'	8.8	R	R,C4	
2	VZPer	02 31 .6	55 20	7.8	R4	R,C3—C4	C4
3		05 46 .4	29 53	7.8	C		C6
4		05 51 .8	28 27	7.7	C		
5		20 05 .6	34 55	8.4	N	R,C4:	C4—C5
6	429Cyg	20 07 .4	35 48	7.9	R		R,C5
7	432Cyg	20 11 .8	36 43	7.9	R	R,C5	R,C5
8	436Cyg	20 13 .4	36 35		C		C5
9		20 23 .0	37 57	7.9	R	R,C2—C3	
10		20 33 .8	36 29	7.7	N	R,C5	
11		21 18 .6	41 58	(9.5)	R,N,C6		C6
12	D042999	23 15 .3	46 43	(10.6)	R	N0,C4—C5	N0,C5
13	D043187	23 22 .3	48 57	(9.0)	R?	N2—N3,C6	C6

Таблица 7

Звезда	Номер пластинки	Дата	Эмульсия и фильтр	Время выдерж- ки в минутах	Приз- ма	Наблю- датель
1	4407	25. X. 1964	Гельб рапид+ЖС—18	30	4	Д, Дж
1	4412	25. X. 1964	Рот рапид+ЖС—18	30	4	Д, Дж
2	281	2. X. 1956	Рот рапид	60	8	Д
3,4	2531	7. XI. 1961	И—850+КС—10	120	8	Д, Дж
5	4404	24. X. 1964	Рот рапид+ЖС—18	60	4	Д, Дж
6,7,8	3216	28. XI. 1962	И—810+КС—10	60	8	Д
6	4175a	24. VIII. 1964	И—810+КС—10	14	8	Д, А
6	4395	22. X. 1964	И—810+КС—10	8	8	Д, Дж
6,7	4174a	28. VII. 1964	И—810+КС—10	20	8	Д, А

Продолжение табл. 7

Звезда	Номер пластиинки	Даты	Эмульсия и фильтр	Время выдержек в минутах	Призма	Наблюдатель
7,8,9	273	30. IX. 1956	Рот рапид	51	8	Д
7,8	280	1. X. 1956	Рот рапид	41	8	Д
9,10	4438	2. XI. 1964	Рот рапид+ЖС-18	60	8	Д
11	2546	8. XI. 1961	И-85+КС-10	120	8	Д
12,13	2526	2. XI. 1961	И-850+КС-10	40	8	Д,К
12,13	25148	13. X. 1961	И-150	35	8	Д,П,К
12,13	2482	3. X. 1961	Кодак ОаF	40	8	Д,П

Примечание к табл. 7:

Д—Долидзе, Дж—Джимшелейшвили, А—Алксне,  
К—Куцдзиня, П—Пугач.

Январь, 1965.

მცირე დისპერსიანი სავარგებლის მიხედვით  
C-ვარსკვლავების კლასიფიკაციის საკითხები

ა. დოლიძე, ზ. ალქსნე და გ. ჯიმშელეიშვილი

(რთული)

სტატია ეხება მცირე დისპერსიანი საექტრების მიხედვით C-ვარსკვლავების კლასიფიკაციის საკითხებს. განხილულია C-ვარსკვლავების საექტრები, რომლებიც მიღებული იყო ყვითელ, ვიზუალურ და ინფრაწითელ სხივებში. დადგენილია, რომ ამ საექტრების მიხედვით C-ვარსკვლავების საექტრების დაყოფა შესაძლებელია 4 ქვეჯასად. მოყვანილია 13 ვარსკვლავის კლასიფიკაციის შედევები.

THE PROBLEMS OF CLASSIFICATION OF C-STARS  
BASED ON THE LOW-DISPERSION SPECTRA

M. V. DOLIDZE, Z. ALXNE, G. N. JIMSHELEISHVILI

(Summary)

The problems of classification of C-stars according to low-dispersion spectra, obtained in yellow, visual and infrared light, are considered.

It seems to be possible to divide C-stars into 4 subgroups in the system of C.

## ЦИТИРОВАННАЯ ЛИТЕРАТУРА

- Keenan P. C., Morgan W. W. The classification of the red carbon stars. *AphJ*, 1941, **94**, 501.
- Perraud H. Listes et classification d'étoiles M, C, S trouvées dans divers champs pris aux prismes objective à vision direct. *Journ. des obs.* 1959, **42**, № 3, 33-47, № 2, 104.
- Buigne R. Contribution à l'étude des étoiles rouges carbonées. *Ann. d'Aph.*, 1954,

- Nassau J. J., Colacevich A. Note on the spectral classification of carbon stars in the infrared. *AphJ*, 1950, **111**, 199.
- Nassau J. J., Velghe A. G. Objective prism spectra in the near infrared. *AphJ*, 1964, **139**, 190.
- Nassau J. J., Blanco V. M. Carbon stars at the galactic equator in a zone 4° wide. *AphJ*, 1954, **120**, 129.
- Wyller A. A. Problems related to the spectral classification of carbon stars: vibrational temperatures and C<sup>13</sup> abundances. *Astrophysica Norvegica*, 1960, **7**, 13.